

東京大学生産技術研究所 正員 虫明 功臣
住宅・都市整備公团 正員 橋本千代司
東京大学生産技術研究所 正員○田村 浩啓

1. はじめに 雨水浸透処理施設は、都市域における雨水流出抑制策ならびに地下水涵養機能の保全策として近年注目を浴びていい。筆者らは、住宅・都市整備公团が東京都昭島つばさ丘ハイツ内に試験施工してある各種の雨水浸透処理施設のうち、浸透地下トレーンを対象に注入実験を行った。実験は、自然降雨に近い、浸透を再現するため、トレーン周辺の地表へ散水を施しながら行ったものである。本稿では、各土中水分条件下での浸透能の相違及び、トレーン周辺の土中水分の時間変化を浸透水注入中に注入停止後に分けて、前者については飽和域の発達状況とその安定時間と浸透能との関係、後者は土中吸引圧の回復状況について検討した。

2. 実験対象とした注入実験の概要

対象とした浸透地下トレーンの諸元を図1に示す。トレーン周辺の土層は表層90cmまでが造成工事により搅乱されたローム質土壌、90~300cmが立川ローム層、それ以深は立川礫層で、地下水水面は地表面下約10mである。注入実験は、トレーン上面に達した水位が保たれるよう調節し、注入量がほぼ一定となる時点で注水を停止する。散水はトレーン上方4mから周辺の地表へ周囲7×14mに施した。散水量2.1m³/hから散水範囲で150mm/h相当の降雨強度となるが、湛水面積が散水面積の約5倍（湛水深0~10cm）にも拡大したため、実際は30mm/h程度の降雨強度である。実験中の周辺土壤の吸引圧変化を測定するテシオメータの埋設位置を図2に示す。また、合計8回行なった注入実験の各条件を表1に示す。

3. 浸透能の時間変化及び初期土中水分との関係

図3は定水位注入実験の測定結果を、トレーンの長さ当たりの浸透量の時間変化として表わしたものである。散水を伴う注入実験において、終期浸透量が無散水実験より最大3割程度小さくなる、といふ。また、各実験を比較すると、初期浸透能における高低の差が終期に至るまで保存されていく点が注目される。この要因として考えらるべきトレーン周辺の土中水分条件が浸透能に与える影響について考察する。周辺土中水分条件の一つ指標として、本稿では、空隙率（飽和含水率-実験前の含水率）を用いることとした。図4は各実験における空隙率の深度方向分布を示す。これより、実験B,E,...,Hの順に周辺の土壤が乾燥していかることがわかる。この順序は図3の高低の順とほぼ一致している。これより、現実的な時間範囲では土中水分が終期浸透能の境界条件として影響をもつと考えられる。また、浸透能が安定したのみならず経過時間に着目すると、初期浸透能の差異にかかわらず一様に3時間前後となり、といふ。

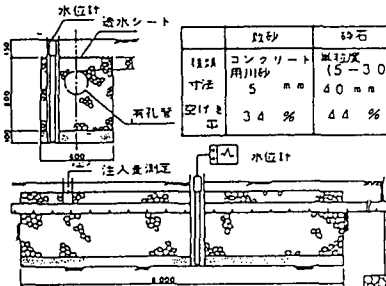


図1 対象トレーンの概要

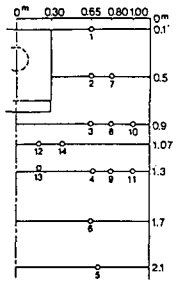


図2 テンシオメータの配置

表1 実験条件

実験日	CASE	注入時間	注入量	散水
81.8.11	A	3 hr	9.41 l	X
81.12.9	B	4	8.20	X
82.4.9	C	8	11.00	X
82.7.8	D	3	5.60	X
83.8.14	E	3.75	7.92	X
83.10.18	F	4	7.13	O
83.10.24	G	4	6.61	O
83.10.25	H	4.41	6.74	O

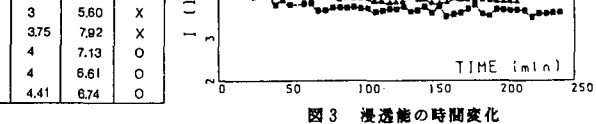


図3 浸透能の時間変化

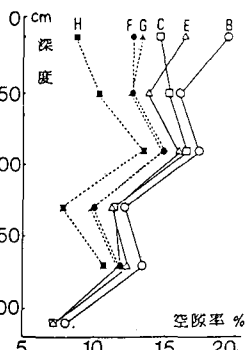


図4 空隙率の深度方向分布

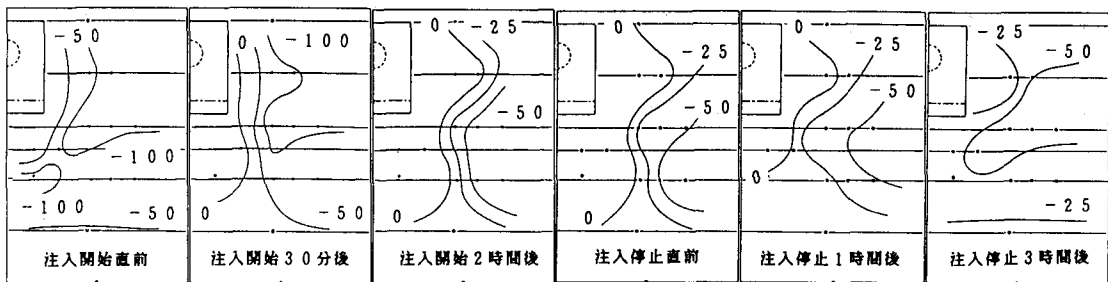


図5 実験Eの土中吸引圧分布の時間変化

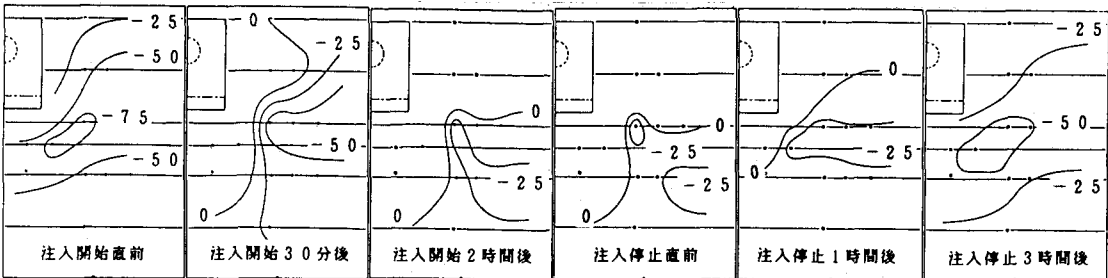


図6 実験Hの土中吸引圧分布の時間変化

4. レンチ周辺の土中吸引圧の時間変化

4-1. 注入実験中の挙動 図5にレンチ周辺の地表に散水を行なった注入実験Eの土中吸引圧分布を示し、図6に散水を行なった注入実験Hのそれも示す。図中、値が0の部分は飽和状態であることを示す。レンチ周辺の吸引圧は注入開始直後に急激な変化を示し飽和域が形成されるが、2~3時間後には飽和域はあまり拡大しなくなり注入停止までその状態を維持する。これは、浸透能が予時間前後で安定するといふと時間的に符合する。次に、散水実験時と無散水実験時ににおける飽和域の拡大範囲を比較すると、散水時ではレンチ側方の水平方向全域に深度90cm前後まで飽和しているのに対し、無散水時では側方70cm程度までしか飽和域が及んでいない。この差は散水時に比べて地表からの浸透がかなり多いことに起因する。しかし、レンチ下方における飽和域は両者間にほとんど差はない。降雨時には地表からの雨水の浸入によりレンチ側方からの浸透量はかなり減少するが、底部からの浸透量は実験に用いた降雨量程度ではほとんど影響を受けないと考えられる。これらのことから、降雨による地表からの浸透の影響を受けずにレンチの機能を有効に活用するには、深部にレンチを設けたいことが望まれる。

4-2. 注入停止後の土中吸引圧の回復 図7(a), (b), (c)に、注入停止時刻を原点として各深度の土中吸引圧の回復状況を示す。各深度について、経過時間の対数と吸引圧の関係には直線的な関係が見られ、その勾配は散水、無散水にかかわらず深度毎にほぼ一定のようである。深度が浅い50cmでは、重力排水が完了したと考えられる吸引圧-100cmH₂O(pF1.0)は2~3日で達し安定するが、深度が深いものほど吸引圧の回復速度が遅くなる。1981年11月から1983年10月のテンシオメータ自記観測によれば、深度170cmでは約3ヶ月の暴雨期間の後の2月下旬に吸引圧が-100cmH₂Oにむかってからのを除いて、3月~11月の間では吸引圧は-60cmH₂O(pF1.8)程度までしか回復しない。

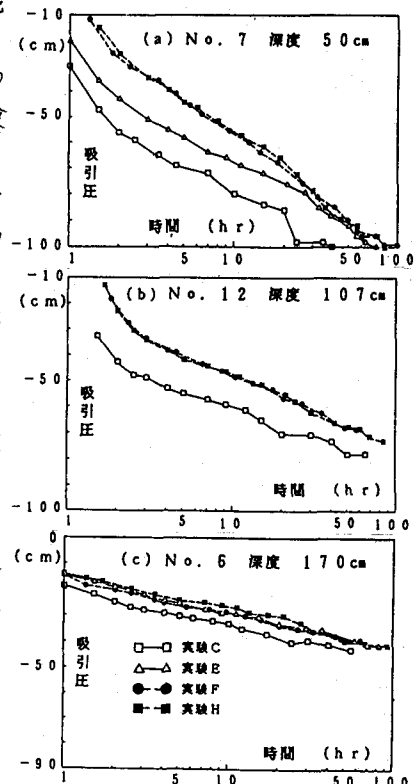


図7 注入停止後の土中吸引圧の時間変化